

нации на оболочку. Изобары при $t = 6.12$ в момент развитого движения оболочки представлены на фиг. 2. Линия 1 соответствует давлению $p = 0.0015$, линии 2 — 6 — давлениям $p = 0.004, 0.0025, 0.0015, 0.0002, 0.000001$ соответственно. Картина изобар отражает взаимодействие торцовых и боковых волн разрежения. На фиг. 3 представлены линии тока продуктов детонации в тот же момент времени.

Пунктиром показана звуковая линия ($c = w$). Результаты свидетельствуют о наличии небольшой дозвуковой зоны в центральной области течения, основная область течения является сверхзвуковой. Дозвуковая зона по мере развития процесса уменьшается.

Авторы благодарят В. А. Одинцова за помощь в работе и ценные советы.

Поступила 1 III 1974

ЛИТЕРАТУРА

1. Walker W. A., Sternberg H. M. The Chapman-Jouguet isentrope and the underwater shockwave performance of pentolite. Proc. 4-th Sympos. (Internat.) Detonat. White Oak, Md. 1965, Washington, Office Naval Res., 1967.
2. Каширский А. В., Коровин Ю. В., Одинцов В. А., Чудов Л. А. Численное решение двумерной нестационарной задачи о движении оболочки под действием продуктов детонации. ПМТФ, 1972, № 4.
3. Гольдин В. Я., Калиткин Н. Н., Левитан Ю. Л., Рождественский Б. Л. Численный расчет уравнений двумерной газодинамики с детонацией. В сб. «Численные методы механики сплошной среды», т. 4, № 3. Новосибирск, ВЦСО АН СССР, 1973.
4. Коровин Ю. В., Чудов Л. А. Двумерная автомодельная задача о движении продуктов детонации при точечном инициировании. Всесоюзная школа по теоретическим исследованиям численных методов механики сплошных сред. Тезисы докладов, Звенигород, 1973. М., Ин-т проблем механ. АН СССР, 1973.
5. Каширский А. В., Коровин Ю. В., Чудов Л. А. Явный разностный метод для расчета двумерных нестационарных задач о движении продуктов детонации. В сб. «Вычислительные методы и программирование», вып. 19, М., Изд-во МГУ, 1972.

УДК 539.374

РЕШЕНИЕ ОДНОЙ ЗАДАЧИ О ДВИЖЕНИИ УПРУГОВЯЗКИХ МАТЕРИАЛОВ

И. М. Горбунов

(Москва)

Дано общее решение задачи о движении тела Максвелла в пластомере плоскопараллельного сдвига при квазистатическом сосредоточенном воздействии. При решении использовано физико-математическое моделирование микроструктуры и процессов ползучести распределенной массы упруговязких материалов.

При исследовании физико-механических свойств упруговязких материалов и их характеристик, таких как коэффициент вязкости, модуль сдвига и время релаксации, часто используют пластомер плоскопараллельного сдвига [1,2]. Пластомер представляет собой систему, состоящую из двух жестких стальных пластин, между которыми заключают исследуемую массу материала (фигуру). Сдвиговую силу создают постоянным грузом P посредством стальной струны и направляющего шкива с моментом инерции I и внешним радиусом R . При моделировании микроструктуры и процессов ползучести упруговязких материалов в большинстве случаев не учитывают инерцию распределенной массы образца, инерцию присоединенных масс, локальную ползучесть [2-6].

Попытка учесть инерцию распределенной массы в уравнении движения тела Максвелла при сосредоточенной сдвиговой силе предпринята в [7]. Предел функции ползучести (23) в [7] при условии, что коэффициент вязкости $\eta \rightarrow \infty$, не согласуется с решением аналогичной задачи [8] для абсолютно упругой системы.

В связи с релаксационными и колебательными процессами внутри движущегося материала (несмотря на то что груз P постоянен) сила на движущейся пластине применяемого пластомера в зависимости от характера этих процессов может быть различной. При анализе конкретных экспериментальных данных эти явления не учитывались.

В данной работе задача о движении тела Максвелла в пластомере плоскопараллельного сдвига при квазистатических воздействиях решена с учетом инерции распределенной массы исследуемого материала и инерции присоединенной массы, являющейся технической характеристикой прибора, а также с учетом изменения внешней сдвиговой силы при движении системы.

Рассмотрим пластомер плоскопараллельного сдвига, схематически изображенный на фигуре: 1 — канифас-блок, 2 — шкив канифас-блока, M_0 — приведенная масса верхней пластины и индикаторного штока, P — постоянный груз, действующий на сдвиг, $U(z, t)$ — функция смещения бесконечно тонкого горизонтального слоя материала в направлении действия сдвиговой силы, z — ось координаты, h — расстояние между пластинами пластомера (толщина прослойки материала), жесткое крепление нижней пластины пластомера символически изображено наклонными штрихами.

К движущейся пластине жестко прикреплен индикаторный шток. Их общая масса M в отсутствие внешней нагрузки играет роль присоединенной массы. Когда система находится под действием груза P , присоединенная масса $M = M_0 + P/g + I/R^2$ (е), где P/g — масса груза, I/R^2 — приведенная масса движущегося шкива, g — ускорение свободного падения, а M_0 , P , I , R определены выше. Массой струны пренебрегаем.

Далее рассмотрим поведение пластомера, содержащего упруговязкий материал в естественном состоянии [9]. Примем простую структурно-механическую модель — модель Максвелла. Она характеризуется двумя физическими величинами — модулем сдвига G и коэффициентом вязкости η исследуемого материала. Выберем условия эксперимента так, чтобы можно было считать G и η постоянными по всему образцу. Локальное соотношение между относительным сдвигом γ и механическим сдвиговым напряжением σ можно записать в виде

$$(1) \quad \eta \dot{\gamma} = \sigma + \tau \dot{\sigma}$$

где $\tau = \eta / G$ — постоянная времени релаксации.

Жесткость образца много меньше жесткости стальных деталей, из которых изготавливается пластомер. Пренебрежем деформациями последних и будем считать, что все элементы массы M смещаются во времени с одинаковыми скоростью и ускорением, оставаясь параллельными самим себе. Можно считать, что масса M сосредоточена в бесконечно тонком слое на верхней границе $S(h)$ образца, где $S(h)$ — площадь контакта верхней пластины — образец. Следовательно, смещение, скорость и ускорение массы M будут совпадать с $U(h, t)$, $U_t(h, t)$ и $U_{tt}(h, t)$ соответственно, где $U(h, t)$ — смещение верхней пластины, т. е. контактного слоя пластины — образец.

Под действием груза P на поверхности образца $S(h)$ при $\eta \rightarrow \infty$ возникает напряжение

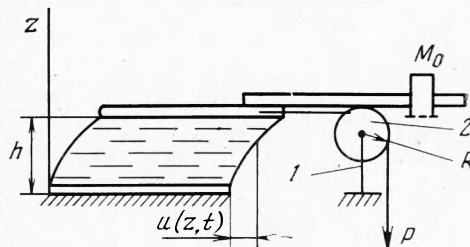
$$(2) \quad \sigma(h, t) = \frac{P}{S} - \frac{U_{tt}(h, t)}{S} \left[\frac{P}{g} + \frac{I}{R^2} + M_0 \right] - \frac{f}{S}$$

где f — сила, обусловленная внешним трением в подшипниках шкива и внутренним трением струны. На упомянутых пластомерах сила f практически не превышает $2G$, что составляет пренебрежимо малую величину по отношению к используемому грузу P , ею можно пренебречь. Примем, что площадь поперечного сечения образца по горизонтальной плоскости в направлении действия сдвиговой силы постоянна по всей области $0 \leq z \leq h$. Процесс ползучести будем считать изотермическим в связи с тем, что толщина образца 1–2 мм и средняя скорость сдвига мала. Длину образца и внешнюю силу сдвига выбираем такими, чтобы движение образца можно было считать простым сдвигом [7].

При изложенных допущениях движение системы описывается функцией $U(z, t)$, дающей горизонтальное смещение бесконечно тонкого слоя материала, находящегося на высоте z , а относительный сдвиг этого слоя

$$(3) \quad \gamma = \partial U(z, t) / \partial z$$

Используя соотношения (1) — (3) и метод физико-математического моделирования [9, 10], запишем дифференциальное уравнение в частных производных для



функции смещения

$$(4) \quad U_{ttt} + \frac{1}{\tau} U_{tt} - \frac{G}{\rho} U_{tzz} = 0$$

где ρ — плотность материала.

Будем считать, что при $t < 0$ груз отсутствует ($P = 0$), а при $t > 0$ $P = \text{const}$, так что

$$(5) \quad U(z, 0) = 0, \quad U_t(z, 0) = 0, \quad 0 \leq z \leq h$$

Поскольку сила трения в системе пропорциональна скорости смещения $U_t(z, t)$, а $U_t(z, 0) = 0$, то в качестве третьего начального условия можно принять соотношения

$$(6) \quad \rho U_{tt}(z, 0) - G U_{zz}(z, 0) = 0 \quad \text{при } z < h$$

и при $z = h$

$$(7) \quad U_z(h, 0) = \frac{P}{SG} - \frac{M}{SG} U_{tt}(h, 0)$$

Граничные условия движущейся системы при $t > 0$ можно определить согласно [8, 11], исходя из равновесия сил вблизи границы при $z \rightarrow h$ и соотношений (1) — (3). Запишем их в виде

$$(8) \quad U(0, t) = 0, \quad S\eta U_{tz}(h, t) = P - M [\tau U_{ttt}(h, t) + U_{tt}(h, t)]$$

При $\rho Sh / M < 1$ и $4\tau S\eta / Mh > 1$ решение уравнения (4) с начальными и граничными условиями (5) — (8) можно записать в виде

$$(9) \quad U(z, t) = \frac{Pz}{S\eta} (t + \tau) - \frac{Pz}{S\eta^2} \left[\frac{Mh}{S} + \frac{\rho h^2}{2} - \frac{\rho z^2}{6} \right] + \frac{P\rho h^3}{S\eta^2} \exp\left(-\frac{t}{2\tau}\right) \times \\ \times \sum_{k=1}^{\infty} \frac{\sin \beta_k \sin \beta_k z/h}{\beta_k^3 (2\beta_k + \sin 2\beta_k)} \left[(3 - \xi_k^2) \cos q_k t + \frac{1 - 3\xi_k^2}{\xi_k} \sin q_k t \right]$$

где β_k — положительные решения уравнения

$$(10) \quad \text{ctg } \beta = \frac{M}{S\rho h} \beta$$

$$\xi_k = \sqrt{\frac{4\tau\eta\beta_k^2}{\rho h^2} - 1}, \quad q_k = \frac{1}{2\tau} \xi_k \quad (k = 1, 2, 3, \dots)$$

Решение (9) в пределе при $M \rightarrow 0$ совпадает по форме с решением (23) работы [7], полученным операционным методом, но отличается от него предэкспоненциальным коэффициентом. Если положить в (9) $M = 0$ и взять предел при $\eta \rightarrow \infty$, то решение (9) согласуется с решением аналогичной задачи [8] о движении абсолютно упругой системы.

В данном случае в принципе масса M никогда не равна нулю, ее можно только приближать каким-либо способом к P/g . Поэтому представляет интерес также предел решения (9) при $M \neq 0$ и $\eta \rightarrow \infty$.

$$(11) \quad U(z, t) = \frac{Pz}{SG} - \frac{4Ph}{SG} \sum_{k=1}^{\infty} \frac{\sin \beta_k \sin (\beta_k z/h) \cos \beta_k (G/\rho h^2)^{-1/2} t}{\beta_k (2\beta_k + \sin 2\beta_k)}$$

Решение (9) является общим для описания движения распределенной массы тела Максвелла при данных условиях эксперимента. Его можно применять для исследования материалов, вязкость которых велика, а также в пренебрежении эффектами влияния движущейся системы на внешнюю сдвиговую силу.

При установившемся движении системы влияние технической характеристики прибора (массы M) является существенным при $t \gg 2\tau$

$$(12) \quad U(h, t) = \frac{Ph t}{S\eta} - \frac{Ph}{S\eta^2} \left[\frac{Mh}{S} + \frac{c h^2}{3} - \frac{\eta^2}{G} \right]$$

Видно, что для расчета и учета (в технических конструкциях) действительных характеристик упругих и диссипативных свойств используемых материалов следует делать необходимые поправки.

Автор благодарен А. Н. Губкину, Г. Я. Коренману, И. А. Лукьянову, Э. Г. Позняку и И. В. Разумовской за интерес к работе и обсуждение результатов.

Поступила 3 VI 1974

ЛИТЕРАТУРА

1. Сабсай О. Ю., Колтунов М. А., Виноградов Г. В. Аналитическое описание ползучести полимеров в текучем состоянии в линейной области деформирования. *Механика полимеров*, 1972, № 4.
2. Мидлман С. Течение полимеров. М., «Мир», 1971.
3. Гольдберг И. И. Механическое поведение полимерных материалов. М., 1970.
4. Гунькин С. П., Зеленев Ю. В., Молотков А. П. О прогнозировании деформационных свойств полимерных материалов. *ПМТФ*, 1973, № 2.
5. Зеленев Ю. В., Молотков А. П. О физически обоснованной макроскопической модели линейных полимеров. *Уч. зап. Моск. обл. пед. ин-та им. Н. К. Крупской*, 1964, т. 147, вып. 8.
6. Тобольский А. В. Структура и свойства полимеров. М., «Химия», 1964.
7. Губанов А. И. Элементарные деформации упруговязких тел. *Ж. техн. физ.*, 1947, т. 17, вып. 4.
8. Будаг Б. М., Самарский А. А., Тихонов А. Н. Сборник задач по математической физике. М., «Наука», 1972.
9. Ишлинский А. Ю. Продольные колебания стержня при наличии линейного закона последействия и релаксации. *ПММ*, 1940, т. 4, вып. 1.
10. Ржаницын А. Р. Теория ползучести. М., Стройиздат, 1968.
11. Тихонов А. Н., Самарский А. А. Уравнения математической физики. М., Гостехиздат, 1953.